

## ВЛИЯНИЕ ТЕРМОРАДИАЦИОННОЙ ОБРАБОТКИ НА ПРОЦЕСС ОБРАЗОВАНИЯ ДЕФЕКТНЫХ ЦЕНТРОВ В КРЕМНИИ ПРИ ЭЛЕКТРОННОМ ОБЛУЧЕНИИ

Добровинский Ю. М., Махкамов Ш., Мирзаев А.,  
Митин В. И., Турсунов Н. А.

Методом DLTS исследовано влияние температуры облучения на накопление и отжиг радиационных комплексов в диодах из  $n$ -Si при воздействии электронами с энергией 4 МэВ.

В области повышенных температур облучения обнаружены дополнительные радиационные дефектные центры с  $E_c = 0.13$  и  $E_c = 0.2$  эВ. Показано, что эффективность формирования указанных дефектных центров при высокотемпературном облучении в несколько раз выше по сравнению с диодами, облученными при комнатной температуре и отожженными при температурах облучения.

Установлена взаимосвязь формированного центра  $E_c = 0.13$  эВ с распадом  $A$ -центра. Показано, что центр с уровнем  $E_c = 0.2$  эВ является сложным комплексом и проявляет высокую термическую стабильность.

Обсуждаются квазихимические реакции, ответственные за формирование указанных дефектных центров при терморадиационной обработке.

Исследованию процесса радиационного дефектообразования в кремнии в зависимости от температуры облучения посвящен ряд работ [1-5]. Полученные авторами экспериментальные результаты неоднозначны и сильно зависят от условий терморадиационной обработки, особенно в области температур  $300 \div 500$  °C, характерной для формирования термодефектов. Сравнительно новые данные о скорости введения радиационных, термических и собственных дефектов от температуры терморадиационной обработки получены авторами [6-8].

Наблюдаемые немонотонности изменения скорости введения радиационных дефектов (РД) от температуры облучения без образования дополнительных РД [6], многостадийность кинетики отжига  $A$ -центра при термообработке облученных образцов [7], генерация собственных дефектов при горячем облучении и их участие в образовании комплексов [8] указывают на сложность протекания процесса формирования РД при терморадиационном воздействии. В связи с этим важное значение имеет изучение процесса формирования РД в кремниевых  $p-n$ -структуратах при терморадиационной обработке, особенно РД, вносящих определяющий вклад в изменение рекомбинационных характеристик изготавливаемых кремниевых изделий.

В данной работе приведены результаты исследований методом DLTS параметров радиационных дефектов с уровнем  $E_c \leq 0.3$  эВ и эффективность их введения в диоды из кремния  $n$ -типа в зависимости от температуры и флюенса электронного облучения, а также влияние высокотемпературной обработки на отжиг  $A$ -центра и формирование дополнительных дефектов.

Исследование радиационных дефектов проводилось в диодах, изготовленных из кремния  $n$ -типа, выращенного по методу Чохральского, с содержанием фосфора  $2 \cdot 10^{16} \div 1.5 \cdot 10^{16}$  см $^{-3}$ . Терморадиационная обработка проводилась ускоренными электронами с энергией 4 МэВ в интервале флюенсов  $10^{15} \div 5 \cdot 10^{16}$  см $^{-2}$  при температуре  $300 \div 400$  °C.

Для определения вклада температуры облучения в образование радиационных дефектов аналогичными дозами облучались контрольные образцы при комнатной температуре, которые затем подвергались термообработке при 300 °C.

400 °C в течение времени, равного времени набора флюенса электронов. Средняя плотность тока пучка в обоих случаях была одинаковой и составляла 0.25 мА/см<sup>2</sup>.

Измерение спектра DLTS диодов, облученных электронами при комнатной температуре в интервале флюенсов  $10^{15} \div 5 \cdot 10^{16}$  см<sup>-2</sup>, показало образование

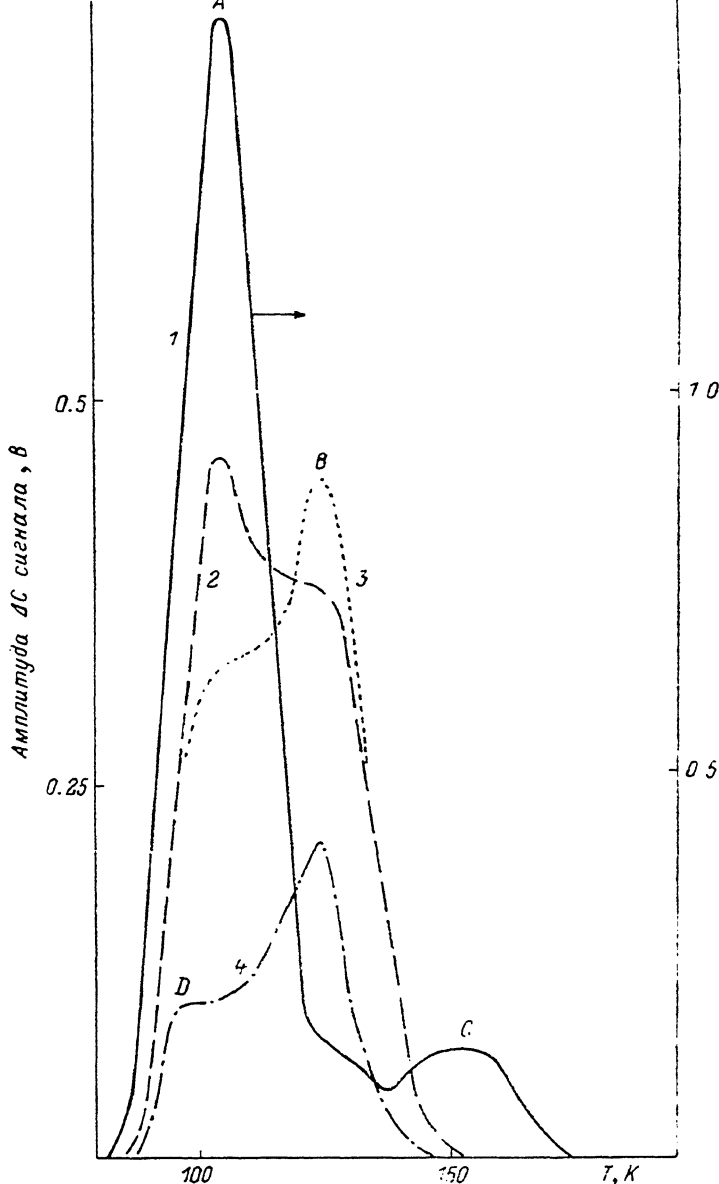


Рис. 1. Спектры DLTS диодов из *n*-Si, облученных флюенсом электронов  $10^{16}$  см<sup>-2</sup> при различных температурах.

$T_{\text{обл}}, ^\circ\text{C}: 1 - 325; 2 - 350; 3 - 375; 4 - 400.$

известных четырех типов дефектных комплексов, обнаруженных в [6]:  $E_c - 0.17$ ,  $E_c - 0.23$ ,  $E_c - 0.39$  и  $E_c - 0.44$  эВ.

Повышение температуры облучения приводит к появлению дополнительных радиационных дефектов. На рис. 1 приведены спектры DLTS образцов, облученных флюенсом электронов  $10^{16}$  см<sup>-2</sup> в интервале температур  $300 \div 400$  °C.

В спектре DLTS образцов, облученных при температурах  $300 \div 325$  °C (рис. 1, кривая 1), в области  $E_i < 0.3$  эВ наблюдаются три пика (*A*, *B*, *C*): *A* обусловлен ионизацией *A*-центра ( $E_c - 0.17$  эВ); слабо разрешенный пик *B*

( $E_c - 0.2$  эВ) образуется в результате высокотемпературного облучения или отжига, а пик  $C$  ( $E_c - 0.23$  эВ) связывается с ионизацией второго зарядового состояния дивакансии.

В образцах, облученных при  $T \geq 350$  °С (рис. 1, кривая 2), пик  $C$  не наблюдается, сигнал от пика  $A$  уменьшается, а величина пика  $B$  увеличивается и достигает своего максимума при  $T_{\text{обл}} = 375$  °С. При этом концентрация уровня  $E_c - 0.2$  эВ, соответствующего пику  $B$  (рис. 1, кривая 3), составила  $2 \cdot 10^{14}$  см<sup>-3</sup> (рис. 2, кривая 2), а сечение термической эмиссии электронов  $\sigma_n = 10^{14}$  см<sup>2</sup>.

Дальнейшее увеличение температуры облучения до 400 °С привело к уменьшению концентрации уровня  $E_c - 0.2$  эВ, исчезновению сигнала  $A$ , обусловленного уровнем  $E_c - 0.17$  эВ (рис. 2, кривые 1, 2), и появлению заметного дополнительного пика  $D$  (рис. 1, кривая 4), соответствующего уровню  $E_c - 0.13$  эВ с концентрацией  $10^{13}$  см<sup>-3</sup> (рис. 2, кривая 3).

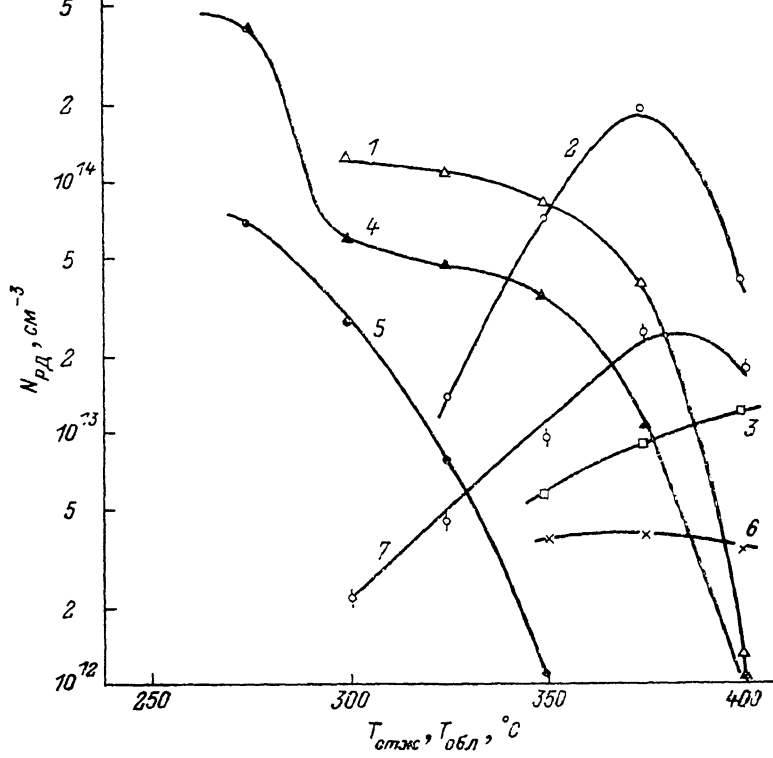


Рис. 2. Изменение концентрации радиационных дефектов в диодах из  $n$ -Si в зависимости от температуры облучения (1—3) и изохронный отжиг РД в диодах, облученных при комнатной температуре (4—7).

$$\Phi_e = 10^{14} \text{ см}^{-2}; E_c - E_i, \text{ эВ: } 1, 4 - 0.17 \text{ (A-центр); } 2, 7 - 0.2; 3, 6 - 0.13; 5 - 0.23.$$

Для определения вклада температуры облучения в формирование дополнительных дефектных центров  $E_c - 0.2$  и  $E_c - 0.13$  эВ параллельно облучались контрольные образцы флюенсом до  $10^{16}$  см<sup>-2</sup> при комнатной температуре, которые затем отжигались при температуре 300—400 °С в течение времени, равного времени набора флюенса электронов. Изменение концентрации РД облученных и отожженных контрольных образцов приведено на рис. 2 (кривые 4—7).

Анализ изохронного отжига контрольных образцов показывает, что центры с уровнями  $E_c - 0.2$  и  $E_c - 0.13$  эВ начинают проявляться только после термообработки при  $T \geq 300$  и  $\geq 350$  °С соответственно с одновременным исчезновением уровня  $E_c - 0.23$  эВ и отжигом  $A$ -центра. В этих образцах при одинаковых флюенсах облучения концентрация формировавшихся центров  $E_c - 0.2$  и  $E_c - 0.13$  эВ всегда меньше по сравнению с образцами, облученными при высокой температуре. Для выяснения взаимосвязанности образования центров  $E_c - 0.2$  и  $E_c - 0.13$  эВ с распадом  $A$ -центра исследовалось изменение концентрации указанных центров при изотермическом отжиге  $A$ -центра.

С этой целью образцы облучались различными флюенсами электронов при комнатной температуре и  $375^{\circ}\text{C}$  (область температур эффективного формирования уровня  $E_c - 0.2 \text{ эВ}$ ), а затем отжигались при  $T = 450^{\circ}\text{C}$  (область температур полного распада  $A$ -центра).

Исследование влияния отжига на формирование радиационных дефектов в образцах, облученных при указанных режимах, показало, что эффективность образования центров  $E_c - 0.13$  и  $E_c - 0.2 \text{ эВ}$  определяется не только температурой и флюенсом облучения, но и условиями отжига.

На рис. 3 приведены изменения концентрации дефектов в диодах, облученных различными флюенсами электронов при комнатной температуре и  $375^{\circ}\text{C}$ , затем подвергнутых отжигу при  $450^{\circ}\text{C}$ .

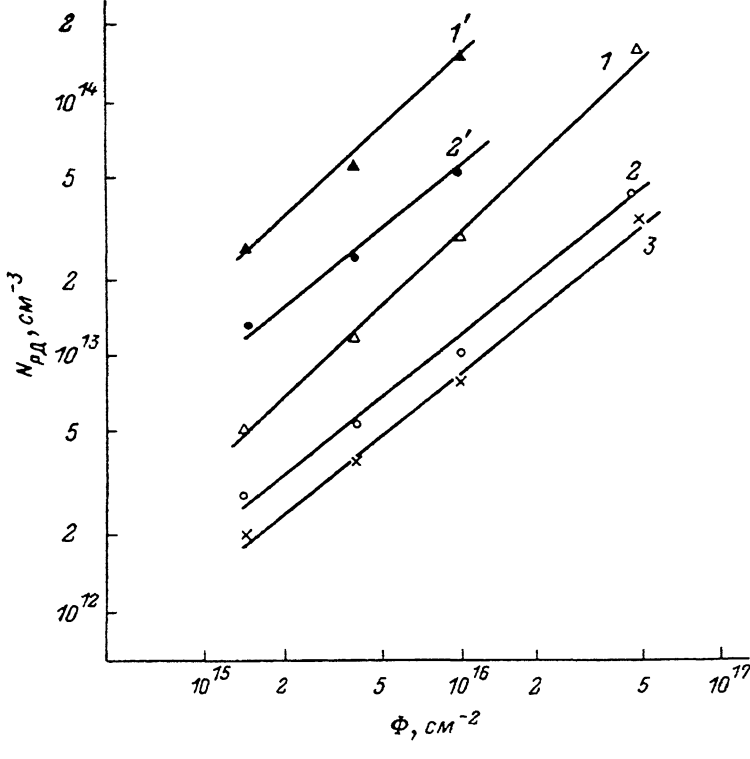


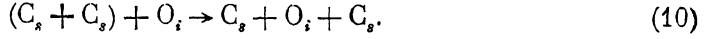
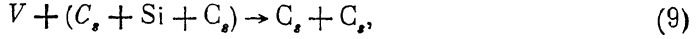
Рис. 3. Изменение концентрации радиационных дефектов в диодах из  $n\text{-Si}$ , облученных при комнатной температуре (1–3) и  $375^{\circ}\text{C}$  (1', 2'), от флюенса электронов.

$E_a - E_i, \text{ эВ}: 1, 1' - 0.2; 2, 2' - 0.13; 3 - 0.25.$

Измерение спектров образцов, облученных при комнатной температуре и отожженных при  $450^{\circ}\text{C}$ , показало, что  $A$ -центр и дивакансия полностью отжигаются и в спектре DLTS появляются дополнительные пики, обусловленные уровнями  $E_c - 0.13$ ,  $E_c - 0.2$  и  $E_c - 0.25 \text{ эВ}$ . Концентрация формировавшихся дефектных центров, соответствующих уровням  $E_c - 0.13$ ,  $E_c - 0.2$  и  $E_c - 0.25 \text{ эВ}$ , увеличивается с ростом флюенса электронов (рис. 3, кривые 1–3). В спектре DLTS образцов, облученных при  $375^{\circ}\text{C}$ , наблюдаются уровни  $E_c - 0.13$  и  $E_c - 0.2 \text{ эВ}$ , концентрация которых также возрастает с ростом флюенса электронов, но практически мало изменяется при отжиге  $450^{\circ}\text{C}$ , а уровень  $E_c - 0.25 \text{ эВ}$  отсутствует. Сопоставление концентрации центров  $E_c - 0.13$  и  $E_c - 0.2 \text{ эВ}$  в диодах, облученных при  $375^{\circ}\text{C}$ , с диодами, облученными при комнатной температуре и отожженными при  $450^{\circ}\text{C}$ , показало, что при идентичных флюенсах облучения эффективная концентрация формировавшихся центров  $E_c - 0.13$  и  $E_c - 0.2 \text{ эВ}$  в диодах, облученных при  $375^{\circ}\text{C}$ , в несколько раз выше по сравнению с диодами, облученными при комнатной температуре (рис. 3, кривые 1', 2' и 1, 2). В этих образцах превалирующими центрами являются дефекты, соответствующие уровню  $E_c - 0.2 \text{ эВ}$ . Анализ полученных результатов позволяет сде-

лять вывод о стимулированном образовании дефектных центров  $E_c$ —0.13 и  $E_c$ —0.2 эВ под воздействием высокотемпературного облучения.

При образовании центров с уровнями  $E_c$ —0.13 и  $E_c$ —0.2 эВ наиболее вероятным является протекание следующих квазихимических реакций из продуктов распада радиационных дефектных комплексов:



Квазихимическая реакция (1) приводит к образованию  $A$ -центра, который наблюдается в спектре DLTS исследуемых образцов до 400 °С. Реакция (2) приводит к образованию дивакансий, которые отжигаются при 375 °С и не наблюдаются в образцах, облученных и обработанных при температурах выше 350 °С.

Квазихимические реакции (3)–(5) являются ответственными за формирование дефекта типа  $V_2O$ . Этому дефекту принадлежит уровень  $E_c$ —0.3 эВ и отжигается он до температуры 300 °С [6]. Реакции (6) и (7) приводят к образованию  $VO_2$ . Модель центра предложена в работе [9], а экспериментальные данные о его обнаружении приведены в более ранней работе [10]. Энергия ионизации дефекта  $VO_2$  находится в нижней половине запрещенной зоны кремния, и поэтому мы считаем, что наблюдаемые уровни не связаны с этим типом дефекта. Однако в более поздних работах [7, 11] было показано, что комплексу  $VO_2$ , образующемуся по реакции (7) при конверсии  $A$ -центра, соответствует уровень  $E_c$ —0.11 эВ. Известно, что этот уровень проявляет термическую стабильность до 400 °С. Дальнейшее повышение температуры отжига, как показали авторы [11], приводит к перестройке центра  $VO_2$  по реакции (8) на комплекс  $VO_3$  с уровнем  $E_c$ —0.12 эВ.

Анализ спектра DLTS диодов, облученных при различных температурах, и изменения концентрации РД в зависимости от температуры отжига показывает, что формирующийся центр с уровнем  $E_c$ —0.13 эВ по характеру формирования близок уровню  $E_c$ —0.12 эВ. Уровень  $E_c$ —0.13 эВ проявляется только после распада  $A$ -центра, начиная с области температур терморадиационной обработки  $\geq 350$  °С, и зависит от концентрации  $A$ -центра. При малых концентрациях  $A$ -центра уровень  $E_c$ —0.13 эВ наблюдается в основном только после отжига при  $T \geq 400$  °С, т. е. после распада значительной концентрации  $A$ -центра. С увеличением содержания  $A$ -центра или при понижении температуры облучения проявление  $E_c$ —0.13 эВ в спектре DLTS незначительно смещается в области меньших температур. В области температур облучения или отжига ниже чем 350 °С в терморадиационно обработанных диодах уровень  $E_c$ —0.13 эВ не проявляется. Такое свойство центра с уровнем  $E_c$ —0.13 эВ указывает на взаимосвязанность его с  $A$ -центром. Сопоставляя параметры уровня, характер и температуру его формирования с данными [7, 11], можно предположить, что дополнительный центр с уровнем  $E_c$ —0.13 эВ связан с образованием комплекса  $VO_3$ .

Сложный характер имеет сформированный уровень  $E_c$ —0.2 эВ. Увеличение его концентрации с повышением температуры облучения и достижение максимального значения при облучении в области температур 375 °С, проявление его в образцах, облученных при комнатной температуре только после отжига при  $T \geq 300$  °С, высокая концентрация уровня  $E_c$ —0.2 эВ по сравнению с А-центром, дивакансией и комплексом  $VO_3$  указывают на образование сложного комплекса, проявляющего высокую термическую стабильность. Более вероятно, к образованию такого комплекса могут привести реакции (9) и (10), при которых формируется центр типа  $C_s + O_i + C_s$ .

Обнаруженный уровень  $E_c$ —0.25 эВ проявляется только после отжига при  $T=450$  °С в образцах, облученных при комнатной температуре. Проявление его, возможно, связано с активацией неконтролируемых примесей, которые образуют комплексы с продуктами РД в процессе распада последнего. Подтверждением этого являются отсутствие указанного уровня в высокоомных образцах и увеличение концентрации уровня  $E_c$ —0.25 эВ с ростом флюенса облучения.

Отсутствие уровня  $E_c$ —0.25 эВ в диодах, облученных при  $T=375$  °С, возможно, связано с недостаточностью температуры облучения для стимулирования участия неконтролируемых примесей в комплексообразовании. Отжиг образцов при  $T=450$  °С, предварительно облученных при 375 °С, показывает, что центр с уровнем  $E_c$ —0.25 эВ формируется, однако концентрация его всегда меньше по сравнению с образцами, облученными при комнатной температуре и отожженными при  $T=450$  °С. Такое поведение уровня  $E_c$ —0.25 эВ указывает на прямую зависимость этого центра от концентрации образованных РД сразу после облучения.

Таким образом, комбинированное терморадиационное воздействие стимулирует формирование дополнительных каналов для протекания квазихимической реакции и повышает эффективность образования новых радиационных дефектов с  $E_i < 0.3$  эВ, имеющих важное практическое значение для регулирования рекомбинационных характеристик кремниевых диодов при использовании радиационной технологии.

#### Список литературы

- [1] Физические процессы в облученных полупроводниках / Под ред. Л. С. Смирнова. Новосибирск, 1977. 256 с.
- [2] Вавилов В. С., Глаазман В. Б., Исаев Н. У., Мухашев Б. Н., Спицин А. В. // ФТП. 1974. Т. 8. В. 3. С. 471—475.
- [3] Милевский Л. С., Пагава Т. А. // ФТП. 1976. Т. 10. В. 7. С. 1287—1291.
- [4] Болотов В. В., Васильев А. В., Смирнов Л. С. // ФТП. 1976. Т. 10. В. 7. С. 1670—1674.
- [5] Емцев В. В., Машовец Т. В. Примеси и точечные дефекты в полупроводниках. М., 1981. 248 с.
- [6] Васильев А. В., Панов В. И., Смагулова С. А., Шаймееев С. С. // ФТП. 1987. Т. 21. В. 3. С. 573—575.
- [7] Литвинов В. В., Пальчик Г. В., Уренов В. И. // ФТП. 1990. Т. 24. В. 2. С. 376—378.
- [8] Емцев В. В., Далуда Ю. Н., Шаховцев В. И., Шиндинич В. Л., Нейман В. Б., Антоненко Р. С., Шмальц К. // ФТП. 1990. Т. 24. В. 2. С. 374—376.
- [9] Deleo G. G., Milsted C. S., Kralik J. C. // Phys. Rev. B. 1985. V. 31. N 6. P. 3588—3592.
- [10] Corbett J. W., Watkins G. D., McDonald. // Phys. Rev. 1964. V. 135. N 3. P. 1381—1386.
- [11] Lindstrom J. L., Oehrlein G. S., Corbett J. W. // Phys. St. Sol. (a). 1986. V. 95. N 1. P. 179—184.